MINISTÉRIO DE MINAS E ENERGIA
SECRETARIA DE GEOLOGIA, MINERAÇÃO E TRANSFORMAÇÃO MINERAL
CPRM - SERVIÇO GEOLÓGICO DO BRASIL

FOLHA SB.25-Y-A-I - SÃO JOSÉ DO CAMPESTRE

PROGRAMA GEOLOGIA DO BRASIL
CARTA GEOLÓGICA - ESCALA 1:100.000

ENCARTE TECTÔNICO

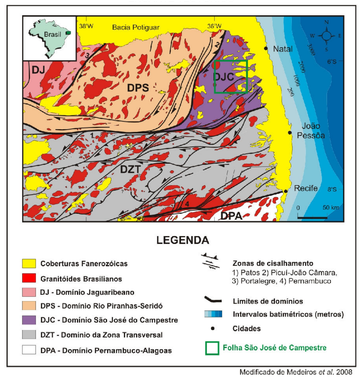

Modificado de Medeiros *et al.* 2008

MAPA AEROMAGNÉTICO (CAMPO TOTAL)

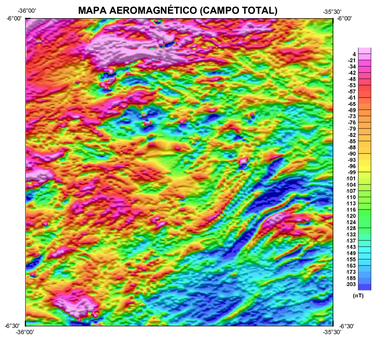

MAPA AEROGAESPECTOMÉTRICO (TERNÁRIO)

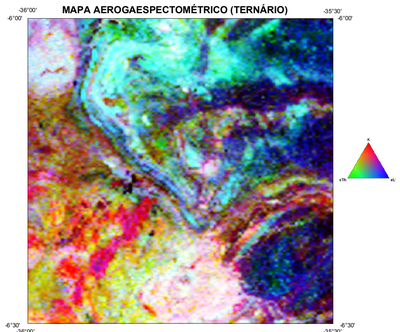

GEOLOGIA X MDT

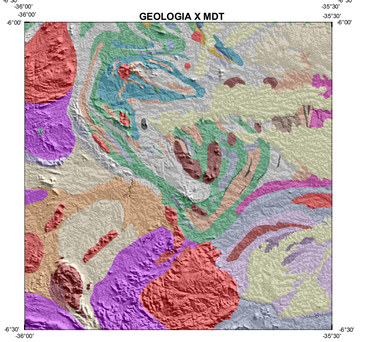

ARTICULAÇÃO DA FOLHA

LOCALIZAÇÃO DA FOLHA

Base Planimétrica digital obtida da carta impressa São José do Campestre, publicada em 1971 pela Sudene, ajustada às imagens do Mosaico GeoCover - 2.000, ortorretificado e georreferenciado segundo o datum WGS84,de imagens ETM+ do Landsat 7 resultante da fusão das bandas 7,4,2 e 8, com resolução espacial de 14,25 metros.Esta base foi editada e atualizada pela Divisão de Cartografia - DICART, para atender ao mapeamento temático do Serviço Geológico do Brasil - CPRM

Autores: **Henrique Llacer Roig**
Elton Luiz Dantas

COORDENADOR GERAL UnB: Prof. Dr. Elton Luiz Dantas
SUPERVISOR TÉCNICO (CPRM):Luiz Carlos da Silva
GEOPROCESSAMENTO: Henrique Llacer Roig
EDIÇÃO DA BASE GEOLÓGICA DIGITAL: Henrique Llacer Roig
EDIÇÃO CARTOGRÁFICA FINAL NA DICART: Maria Luiza Poucino
CONTRATO CPRM 071/PR/2007-UNB

RELAÇÕES ESTRATIGRÁFICAS

ERA	PERÍODO		IDADE (Ma)	UNIDADES GEOLÓGICAS
FANEROZOICO	CENOZOICO	Neógeno	23	N23c Depósitos coúvio-eluviais
		Paleógeno	65	E3βjm Basalto Macau; ENb Grupo Barreiras
			542	
	NEOPROTEROZOICO	Ediacarano	~650	ξγq Diques de quartzo; NP3γ2di Suite Intrusiva Dona Inês; NP3β2si Suite Intrusiva São João do Sabugi; NP3γ2ct Suite Intrusiva Catingueira; NP3γ2it Suite Intrusiva Itaporanga
PRÉ-CAMBRIANO	PALEOPROTEROZOICO	Riociano	2050	PP2βi Suite Inharé; PP2ysc1 4 > 3 > 2 Complexo Santa Cruz; PP2psp1 4 < 2 ComplexoSerrinha Pedro Velho
			2300	
			2500	
	NEO ARQUENO		2800	A4γjc Granitoide São José do Campestre; A34sc1 5 > 3 > 2 Complexo Serra Caiada
	MESO ARQUENO			A3μp2, A3μp1 Complexo Riacho das Telhas; A3ysn Complexo Senador Elói de Souza; A3br Complexo Brejinho
			3200	A23j Complexo Presidente Juscelino; A2gt Gnaisse Teixeira
	PALEO ARQUENO		3600	

UNIDADES GEOLÓGICAS

CENOZOICO

PALEÓGENO-NEÓGENO

N23c Depósito coluvio-eluviais: sedimentos areno-argilosos, arenosos e conglomeráticos, inconsolidados

E3β jm Derrames, diques plugs e necks de olivina basalto com afinidade alcalina

Grupo Barreiras

Enb Arenitos e conglomerados, intercalações de siltitos e argilitos

NEOPROTEROZOICO (NP)

ξγq Diques de rochas graníticas

Suite Intrusiva Dona Inês

NP3γ2di Hornblenda e/ou biotita granitos, leucogranitos de granulação fina a média, possuindo fácies com muscovita, granada e feições migmatíticas, de afinidade calcioalcalina de alto K

Suite Intrusiva São João do Sabugi

NP3β2si Gabros, gabronoritos, dioritos, monzo a quartzo dioritos, quartzo monzonitos, granulação fina a média de afinidade subalcalina-shonshonítica

Suite Intrusiva Catingueira

NP3γ2ct Granitos a quartzo sienitos, com biotita, aegerina-augita e anfibólio, de afinidade alcalina e peralcalina

Suite Intrusiva Itaporanga

NP3γ2it Hornblenda e/ou biotita monzogranitos, grandioritos e quartzo monzonitos, com granulação grossa a porfiritica, de afinidade calcioalcalina de alto K, associado a diorito com fases intermediárias de mistura magmática

Formação Seridó

PALEOPROTEROZOICO (PP)

Suite Inharé

PP2βi Hornblenditos e anfibolitos

Complexo Santa Cruz

PP2ysc4 Augen gnaisses graníticos, leucognaisses quartzo monzoníticos a graníticos com idade entre 2.230 - 2.069 Ma (U-Pb)

PP2ysc3 Ortognaisses de composição granítica, contendo biotita, com textura grossa equigranular. Tendência calcialcalina de alto K e idades entre 2.200 -2.150 Ma (U-Pb)

PP2ysc2 Ortognaisses de composição granodiorítica, com biotita ± hornblenda e textura grossa

PP2ysc1 Ortognaisses de composição tonalítica, com hornblenda + biotita, textura grossa e com enclavesde rochas máficas

Complexo Serrinha - Pedro Velho

PP2sp4 Biotita leucortognaisses granodioríticos a graníticos, peraluminosos, migmatizados

PP2sp2 Biotita hornblenda migmatitos com mesossomas tonalíticos a granodioríticos e leucossomas graníticos, com intercalações de anfibolitos

PP2sp1 Biotita ortognaisse trondhjemíticos, parcialmente migmatizados

NEOARQUEANO (A4)

A4γjc Granitoide São José do Campestre, hornblenda ortognaisses e sieno-monzograníticos e ortognaisses equigranulares com textura média a grossa, e com hornblenda e biotita. 2.683-2.655 Ma (U-Pb)

Complexo Serra Caiada

A34sc5 Anfibolitos dominantes, bandados com biotita e/ou hornblenda-gnaisses, com níveis dioríticos e gabróicos

A34sc4 Magnetita leucogranitos contendo granadas

A34sc3 Formações ferríferas bandadas, associadas a anfibolitos e rochas metabásicas e metaultrabásicas. Intercalações de níveis de rochas calcissilicáticas com sheelita, mármores e quartzitos micáceos

A34sc2 Granada gnaisses e leucognaisses quartzo feldspáticos, biotita gnaisses bandados emigmatizados, contendo lentes de anfibolitos

A34sc1 Migmatitos com paleossomas de hornblenda-ortognaisses tonalíticos e neossomas de composição quartzo feldspática, localmente diatexitos e diques de anfibolitos

MESOARQUEANO (A3)

Complexo Riacho das Telhas

A3μp2 Talco-serpentina clorita xistos, talco xistos e tremolita xistos

A3μp1 Piroxenitos, tremolita piroxenitos, magnetita-cromita-piroxenitos, olivina piroxenitos, gabros e gabronoritos

Complexo Senador Elói de Sousa

A35esa Clinopiroxênio granulitos máficos e félsicos, com rochas calcissilicáticas associadas e hornblenda-piroxênio gnaisses félsicos

A3ysn Hedenbergita-oligoclásio ortognaisses, metagabros, metaleuconoritos e metanortositos, metaluminosos. 3.033 Ma (U-Pb)

Complexo Brejinho

A3br Ortognaisse-granodioríticos a graníticos predominantes, incluindo metatonalitos/metatrondhjemitos com variados estágios de migmatização, peraluminosos

MESO/PALEOARQUEANO (A2/A3)

Complexo Presidente Juscelino

A23j Migmatitos estromáticos, bandados a nebulíticos, com mesossoma tonalíticos a granodioríticose biotita ortognaisse de composição TTG e leucossomas granodioríticos, contendo granada. 3.255 Ma (U-Pb)

Gnaisse Teixeira

A2gt Granada silimanita gnaisses e granada-cordierita-biotita paragnaisses

Contato
Dique
Falha indiscriminada
Falha ou zona de cisalhamento transcorrente dextral
Falha ou zona de cisalhamento transcorrente sinistral
Zona de cisalhamento compressional
Cidade
Povoado
Estrada pavimentada
Estrada não pavimentada
Foliação Sn
Foliação Sn+2 e Sn+3
Lineação mineral ou de estiramento Ln
Lineação mineral ou de estiramento Ln2
Lineamentos estruturais, traço de superfície S
Caminho
Linha de transmissão
Limite estadual

RECURSOS MINERAIS
Mina · Ocorrência · Garimpo
ama - Água marinha
at - Ametista
are - Areia
ag - Argila
br - Brita
cb - Calcário
dt - Diatomita
Fe - Ferro
Gr - Granito
Nb - Nióbio
Be - Berílio,
Ta - Tântalo
W - Tungstênio

Geocronologia
3086 U-Pb · 3.18 Sm-Nd

Curso de água perene
Curso de água intermitente
Lagoa, açude perene
Lagoa intermitente

CARTA GEOLÓGICA
ESCALA 1:100.000

2 0 2 4 6 km

PROJEÇÃO UNIVERSAL TRANSVERSA DE MERCATOR
Origem da quilometragem UTM: equador e Meridiano Central 33°W
acrescidas as constantes: 10.000Km e 500Km, respectivamente.
Datum horizontal: WGS84
Declinação magnética do centro da folha 16° 54', cresce anualmente 8.8'

2013

UnB · CPRM Serviço Geológico do Brasil · Secretaria de Geologia, Mineração e Transformação Mineral · Ministério de Minas e Energia · GOVERNO DE TODOS BRASIL SEM MAIS UM PARA ALGUÉM